

Universidad Nacional de Córdoba  
Facultad de Ciencias Exáctas, Físicas y Naturales



## Proyecto Integrador

*” Diseño de un Sumador Rápido y de Bajo Consumo en tecnología  
CMOS 180 nm utilizando Herramientas de Software Libre”*

**Setiembre 2013**



# Índice general

---

<b>Índice general</b>	<b>I</b>
<b>Índice de figuras</b>	<b>III</b>
<b>Índice de cuadros</b>	<b>V</b>
<b>1. INTRODUCCIÓN</b>	<b>VII</b>
1.1. Estructura del Proyecto Integrador . . . . .	VII
1.2. Planteamiento del problema y motivación . . . . .	VII
1.3. Objetivo . . . . .	VII
1.4. Plan de Trabajo . . . . .	VII
 <b>I Breve reseña sobre el Software Libre</b>	 <b>1</b>
 <b>II Diseño Digital</b>	 <b>3</b>
<b>2. DISEÑO DIGITAL</b>	<b>5</b>
2.1. Introducción . . . . .	5
2.1.1. Semisumador y sumador completo . . . . .	5
2.2. Selección de la arquitectura del sumador . . . . .	6
2.2.1. Costo, Retardo y Área de los circuitos combinacionales . . . . .	6
2.2.2. Clasificación de los sumadores . . . . .	6
2.2.3. Carry Lookahead Adders . . . . .	7
2.2.4. Desenrollando la recurrencia del acarreo . . . . .	8
2.2.5. Sumadores de Prefijo Paralelos ( <i>Parallel Prefix Adders</i> ) . . . . .	9
2.2.6. Selección de la arquitectura . . . . .	11
2.3. Implementación en Lenguaje de Descripción de Hardware . . . . .	13
2.3.1. Implementación del RCA en lava . . . . .	14
2.3.2. Patrones de conexión . . . . .	15
2.3.3. Sumador de Brent-Kung . . . . .	16
2.3.4. Simulación . . . . .	18
2.3.5. Síntesis del Netlist VHDL . . . . .	19

---

<b>3. VERIFICACIÓN FORMAL</b>	<b>21</b>
3.1. Modelo de referencia . . . . .	21
3.2. Verificación de las Propiedades . . . . .	22
3.2.1. Propiedades de la suma . . . . .	22
3.2.2. Descripción de las propiedades en el RCA . . . . .	22
 <b>III Diseño Físico</b>	 <b>25</b>
<b>4. Flujo de Diseño Físico</b>	<b>27</b>
<b>5. Sign Out y Tape Out</b>	<b>29</b>
 <b>IV Conclusiones</b>	 <b>31</b>
<b>6. Conclusiones</b>	<b>33</b>
<b>A. NETLIST VHDL</b>	<b>35</b>
<b>Bibliografía</b>	<b>39</b>

# Índice de figuras

---

2.1. Bit adders . . . . .	6
2.2. Ripple Carry Adder . . . . .	7
2.3. CLA 4-bits . . . . .	9
2.4. Retardo respecto al tamaño de los operandos . . . . .	11
2.5. Área respecto al tamaño de los operandos . . . . .	12
2.6. Operator Punto de Brent-Kung . . . . .	13
2.7. Generación y Propagación del Acarreo . . . . .	13
2.8. Sumador de Brent-Kung . . . . .	14
2.9. Red de prefijos paralelos (ejemplo de 16 bits) . . . . .	14
2.10. Diferentes Patrones de Conexión de Circuitos . . . . .	15
2.11. Construcción de la red de prefijos paralelos . . . . .	17
3.1. circuito addZero . . . . .	23

---

# Índice de cuadros

---

2.1. Resumen Características de Sumadores . . . . .	12
---	----

---



# Capítulo 1

## INTRODUCCIÓN

---

En el presente capítulo se describe en rasgos generales el flujo para el diseño de Circuitos Integrados de Aplicación Específica (*ASIC* por su sigla en inglés), y la metodología utilizada para llevar adelante el diseño, implementación y tape out del mismo.

### 1.1. Estructura del Proyecto Integrador

### 1.2. Planteamiento del problema y motivación

El objetivo del trabajo es diseñar un sumador de  $n$ -bits, que pueda ser enviado a fabricar utilizando procesos de fabricación CMOS para circuitos integrados. Integrar y documentar un flujo de diseño de este sistema digital utilizando herramientas de Software Libre, será un subproducto de este diseño, para lograr la base de conocimiento necesaria en el diseño de circuitos integrados con tecnología CMOS. Este trabajo además de integrar todos los procesos de diseño de un Circuito Integrado, pretende facilitar el acceso a las herramientas de diseño de circuitos integrados a los estudiantes de grado.

### 1.3. Objetivo

### 1.4. Plan de Trabajo

---

# **Parte I**

## **Breve reseña sobre el Software Libre**



# **Parte II**

## **Diseño Digital**



# Capítulo 2

## DISEÑO DIGITAL

---

### 2.1. Introducción

Es importante lograr sumadores binarios rápidos y eficientes según el uso de área y potencia. La suma es la operación elemental para lograr otras operaciones muy utilizadas en los circuitos aritméticos. Ejemplo de esto son los multiplicadores, la resta, división, los filtros FIR e IIR, por nombrar las más conocidas.

Para cada una de esas operaciones, son necesarios sumadores de distinta cantidad de bits en el mismo diseño. Por lo cuál, no se trata solamente de encontrar la arquitectura que para una determinada cantidad de bits logre el mejor compromiso de área, potencia y velocidad. Sino también lograr una relación de compromiso según crece la cantidad de bits del sumador.

#### 2.1.1. Semisumador y sumador completo

##### Semisumador

El **Semisumador** (Half-adder) recibe 2 bits de entradas  $a$  y  $b$  y produce un bit de suma  $s$  y un bit de acarreo  $c$ .

$$s = a \oplus b \quad (2.1a)$$

$$c = ab \quad (2.1b)$$

##### Sumador Completo

Luego definimos un Sumador Completo de un bit, o Full Adder:

Entradas: Bits de operandos  $a$ ,  $b$  y carry-in  $c_{in}$  (o  $a_i, b_i, c_i$  para la etapa  $i$ )

Salidas: Suma  $s$  y carry-out  $c_{out}$  (o  $s_i$  y  $c_{i+1}$  para la etapa  $i$ )

$$s = a \oplus b \oplus c_{in} \quad (2.2a)$$

$$c_{out} = ab + ac_{in} + bc_{in} \quad (2.2b)$$

Podemos construir un **sumador completo** (full-adder) combinando las ecuaciones del sumador y semisumador, como vemos en la figura [2.1b](#):

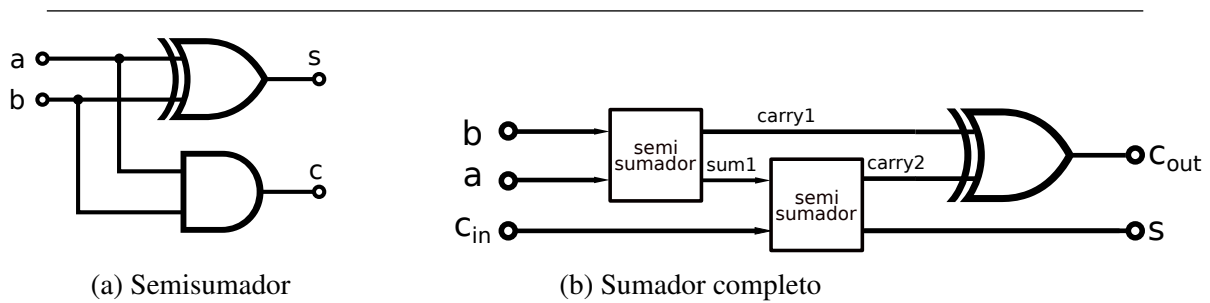


Figura 2.1: Bit adders

## 2.2. Selección de la arquitectura del sumador

Proponemos el uso de Celdas estándar CMOS (Complementary Metal Oxide Silicon) para la implementación<sup>1</sup>. El carácter de nuestro flujo de diseño así lo requiere, ya que se utilizarán herramientas de síntesis de circuitos digitales basadas en celdas estándares. Quedan entonces descartadas las implementaciones utilizando transistion gates, lógica dinámica u otro tipo de implementacion lógica.

### 2.2.1. Costo, Retardo y Área de los circuitos combinacionales

Cada circuito combinacional  $G$  tiene un costo, área y un retardo. El costo de un circuito combinacional es la suma de los costos de las compuertas en un circuito. Le asignamos un costo unitario a cada compuerta, y el costo del circuito combinacional  $c(G)$  es igual al número de compuertas en el circuito.

El retardo de un circuito combinacional  $d(G)$  se define igual al del retardo de una compuerta. Es el menor tiempo requerido para que las salidas se estabilicen, asumiendo que todas las entradas están estables. Para simplificar el análisis, se le asigna un retardo unitario a cada compuerta.

El área de un combinacional se compone por el area total (*cell area*) de las compuertas utilizadas mas el área total de todas las conexiones (*net area*).

### 2.2.2. Clasificación de los sumadores

Dentro de los sumadores paralelos, se encuentran varias arquitecturas, cada una con sus ventajas y desventajas. Hacemos una lista de algunas de ellas:

<sup>1</sup>Para ver otras posibilidades de implementación lógica, ver (FALTA CITA) RABAEY



Sumadores Binarios	
RCA	Ripple Carry Adder
CLA	Carry Look-Ahead Adder
CSkA	Carry Skeep Adder
CA	Canonical Adders
BBCLA	Block-based Look-Ahead Adders
CondSumA	Conditional Sum Adder
CSeA	Carry Select Adder
HybAd	Hybrid Adders
NPA	Network Prefixs Adders:
	Ladner and Fischer
	Kogge-Stone
	Brent-Kung
	Skalansky

## Ripple Carry Adder

Definimos el sumador Ripple Carry Adder (RCA), utilizando  $n$  sumadores completos para sumar 2 operandos de  $n$  bits. El sumador de  $n$  bits produce una salida de  $n$  bits y una salida de acarreo  $c_{out}$

Este sumador se implementa conectando como muestra la figura 2.2 el bloque `fullAdd` (Sumador Completo). El camino crítico de la señal se determina considerando el peor camino de propagación de la señal.

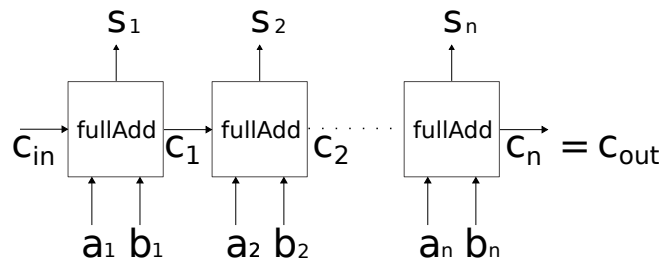


Figura 2.2: Ripple Carry Adder

El retardo del camino crítico de un sumador de  $n$  bits es:

$$T_{RCA} = (n - 1)T_m + T_{FA} \quad (2.3)$$

Siendo  $T_m$  el retardo del circuito de generación del acarreo de un sumador completo y  $T_{FA}$  el retardo de un sumador completo. Es decir, el retardo es proporcional al tamaño de los operandos.

### 2.2.3. Carry Lookahead Adders

La clave para sumar rápido es plantear el problema de la suma como el problema de generar las señales de acarreo en el menor tiempo posible; eso queda evidenciado al interpretar la

ecuación 2.4. Por lo tanto, el objetivo será lograr un bloque generador de las señales de acarreo de baja latencia(9).

Ya que una vez que el acarreo en la posición  $i$  es conocido, se puede calcular la suma como:

$$s_i = a_i \oplus b_i \oplus c_i \quad (2.4)$$

Con respecto al acarreo, lo importante es si en una posición dada el acarreo se *genera* ó se *propaga*. Con las siguientes ecuaciones lógicas podemos definir esas señales:

$$g_i = a_i b_i$$

$$p_i = a_i \oplus b_i$$

Asumiendo que estas señales se han calculado y están disponibles, podemos calcular recursivamente el acarreo de la siguiente forma:

$$c_{i+1} = g_i + c_i p_i \quad (2.5)$$

quiere decir que un acarreo entrará en una etapa  $i + 1$  si este se genera en la etapa  $i$  ó entra en la etapa  $i$  y se propaga en esa etapa.

#### 2.2.4. Desenrollando la recurrencia del acarreo

Uno puede desenrollar esta fórmula recursiva del acarreo hasta lograr una función que dependa directamente de los operandos ( $a$  y  $b$ ) y del acarreo de entrada  $c_{in}$ :

$$\begin{aligned} c_i &= g_{i-1} + p_{i-1}c_{i-1} \\ &= g_{i-1} + p_{i-1}(g_{i-2} + p_{i-2}c_{i-2}) = g_{i-1} + p_{i-1}g_{i-2} + p_{i-1}p_{i-2}c_{i-2} \\ &= g_{i-1} + p_{i-1}g_{i-2} + p_{i-1}p_{i-2}g_{i-3} + p_{i-1}p_{i-2}p_{i-3}c_{i-3} \\ &= g_{i-1} + p_{i-1}g_{i-2} + p_{i-1}p_{i-2}g_{i-3} + p_{i-1}p_{i-2}p_{i-3}g_{i-4} + p_{i-1}p_{i-2}p_{i-3}p_{i-4}c_{i-4} \end{aligned}$$

El proceso se repite hasta que el último término contenga  $c_0 = c_{in}$ . Podemos computar todos los acarreos en un sumador de  $k$ -bit directamente con las señales auxiliares ( $g_i, p_i$ ) y  $c_{in}$ , utilizando compuertas lógicas AND-OR con un fan-in máximo de  $k + 1$ . Para  $k = 4$ , tenemos:

$$\begin{aligned} c_4 &= g_3 + p_3g_2 + p_3p_2g_1 + p_3p_2p_1g_0 + p_3p_2p_1p_0c_0 \\ c_3 &= g_2 + p_2g_1 + p_2p_1g_0 + p_2p_1p_0c_0 \\ c_2 &= g_1 + p_1g_0 + p_1p_0c_0 \\ c_1 &= g_0 + p_0c_0 \end{aligned} \quad (2.6)$$

Aquí,  $c_4$  y  $c_0$  son los  $c_{out}$  y  $c_{in}$  respectivamente de un sumador de 4-bits. Podemos usar un bloque de acarreo basado en estas ecuaciones, y usando compuertas AND de 2 entradas para  $g_i$  y compuertas XOR de 2 entradas para  $p_i$  y los bits de suma, construimos un sumador de 4-bits. Este sumador es conocido como *carry lookahead adder (CLA)*. Notar que como  $c_4$  no se usa para calcular la suma, lo podemos obtener usando una ecuación mas simple:

$$c_4 = g_3 + c_3p_3$$

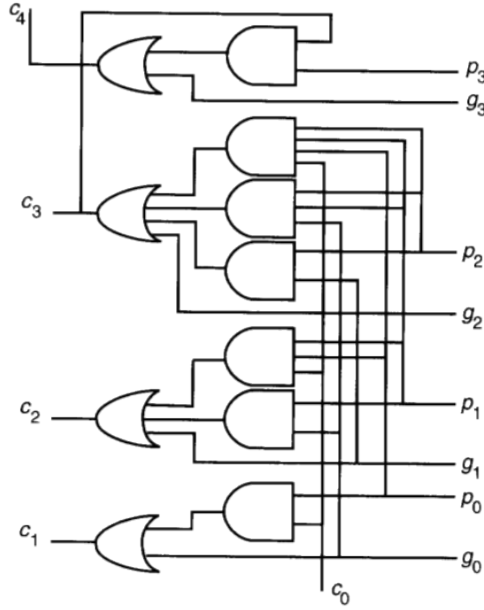


Figura 2.3: CLA 4-bits

Sin tener casi un deterioro en velocidad. La red de acarreo que resulta de estas ecuaciones la podemos ver en la figura 2.3.

Si observamos las ecuaciones 2.6, vemos que el retardo de esta red será el retardo  $T_{AND_n}$  de la mayor celda AND, mas el retardo  $T_{OR_n}$  de la operación OR de  $n$  entradas. Esto es un inconveniente, ya que según aumenta el fan-in también aumenta el retardo. El retardo de un sumador construido con esta red tendrá también el retardo  $T_p$  del cálculo de  $p$  mas el retardo de un sumador completo.

$$T_{CLA} = T_p + T_{AND_n} + T_{OR_n} + T_{FA} \quad (2.7)$$

Se pueden realizar por medio de árboles binarios una reducción a celdas con un fan-in de dos (por ejemplo), pero agregando una etapa por cada reducción, en ese caso el retardo en este circuito sería en función del  $\log_2 n$ .

### 2.2.5. Sumadores de Prefijo Paralelos (*Parallel Prefix Adders*)

En la sección anterior vimos como desarrollar ecuaciones que nos permiten obtener las señales de acarreo a partir de las señales auxiliares, para poder calcular la suma del bit  $n$ , sin esperar a que el acarreo del bit  $n - 1$  sea computado. Aunque esta solución tal cuál como la presentamos deja de ser aplicable según aumenta  $n$ , nos permite abordar el problema del cálculo de los acarreos como un problema de prefijos paralelos.

---

## Problema de Prefijos Paralelos (*Parallel Prefix Problem*)

El problema de prefijo paralelo es:

Dado:

Entradas:  $x_0, x_1, \dots, x_{k-1}$

Un operador + asociativo

Computar :  $x_0$

$x_0 + x_1$

$x_0 + x_1 + x_2 +$

$\vdots$

$x_0 + x_1 + x_2 + \dots + x_{k-1}$

## Cómputo del acarreo como un problema de prefijo paralelo

Pensemos la ecuación 2.6 de la siguiente forma, asumiendo que  $c_0 = c_{\text{in}}$  viene desde otro bloque:

$$g_{[i,i+3]} = g_{i+3} + g_{i+2}p_{i+3} + g_{i+1}p_{i+2}p_{i+3} + g_i p_{i+1}p_{i+2}p_{i+3}$$

$$p_{[i,i+3]} = p_i p_{i+1} p_{i+2} p_{i+3}$$

Podemos interpretar estas ecuaciones de la siguiente forma: las cuatro posiciones de bits propagan colectivamente un acarreo  $c_{\text{in}}$  si y solo si cada una de las posiciones propaga; y el bloque genera un acarreo si en la posición  $i + 3$  se genera uno, o se propaga en la posición  $i + 2$  y es propagado por la posición  $i + 3$ , etc.

Con este procedimiento podemos llegar a expresar una generalización muy importante, para bloques adyacentes que se superponen  $[i_1, j_1]$  y  $[i_0, j_0]$ , con  $i_0 \leq i_1 - 1 \leq j_0 < j_1$ :

$$g_{[i_0, j_1]} = g_{[i_1, j_1]} + g_{[i_0, j_0]} p_{[i_1, j_1]}$$

$$p_{[i_0, j_1]} = p_{[i_0, j_0]} p_{[i_1, j_1]}$$

Aquí,  $g_{[i_0, j_1]}$  y  $p_{[i_0, j_1]}$  son las señales que producimos de 2 bloques adyacentes ( $B''$  y  $B'$  con sus señales asociadas  $(g'', p'')$  y  $(g', p')$ ) que para simplificar la notación nos permite reescribir la anterior ecuación como:

$$g = g'' + g' p''$$

$$p = p' p''$$

Ahora entonces definimos un operador acarreo  $\circ$  para condensar estas operaciones:

$$(g, p) = (g'', p'') \circ (g', p') = (g'' + g' p', p' p'')$$

Este operador es un operador asociativo, y esto se puede demostrar utilizando la propiedad asociativa de los operadores OR y AND. Finalmente, ya tenemos un operador asociativo, y las entradas  $(g''', p'''), (g'', p''), (g', p'), \dots$  que nos permiten plantear el problema de la construcción de la red (o

bloque) de acarreo, como un problema de *Prefijos Paralelos*:

Dados:

Entradas:  $(g_0, p_0), (g_1, p_1), \dots, (g_{k-1}, p_{k-1})$

Un operador  $\circ$  asociativo

Computar :  $(G_0, P_0) = (g_{[0,0]}, p_{[0,0]})$

$(G_1, P_1) = (g_{[0,0]}, p_{[0,0]}) \circ (g_{[0,1]}, p_{[0,1]})$

$\vdots$

$(G_{k-1}, P_{k-1}) = (g_{[0,0]}, p_{[0,0]}) \circ (g_{[0,1]}, p_{[0,1]}) \circ \dots \circ (g_{[0,k-2]}, p_{[0,k-2]}) \circ (g_{[0,k-1]}, p_{[0,k-1]})$

Retomando la ecuación 2.4 de la suma, y con estas ecuaciones que nos dan las señales propagadas o generadas del acarreo, podemos construir distintos sumadores, que varían en la red de cálculo del acarreo, particularmente en cómo se elija la asociación del operador punto. La implementación mas básica (y lenta) sería la de ir asociando en serie a este operador.

PORHACER: AGREGAR GRAFICO DE UNA RED SERIE

## 2.2.6. Selección de la arquitectura

Se puede afirmar que los llamados sumadores paralelos prefijo son mejores con respecto al producto Potencia - Retardo. Aunque no hay una estructura que pueda calificarse como globalmente la mejor. Estos sumadores reducen el problema de calcular de forma paralela las señales de acarreo como el problema de un cálculo de prefijo.

Brent Kung(3), Kogge Stone (6), Ladner Fisher [3], Hans Carlson(6) y Knowles(5) son implementaciones que se diferencian en que cada caso por minimizar alguna relación de compromiso, en el espacio de diseño para minimizar retardo, area y potencia. Por ejemplo citamos un estudio que presenta los siguientes resultados de la figuras 2.4 y 2.5 de un estudio comparativo (1) para tecnología CMOS 0,13  $\mu\text{m}$ .

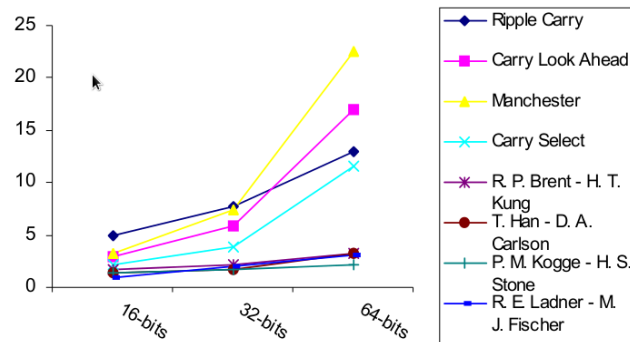


Figura 2.4: Retardo respecto al tamaño de los operandos

s

Resumimos en la tabla 2.1 las características y diferencias entre los distintos sumadores(2).

### Sumador Rápido de Brent-Kung

Para tener en cuenta el problema de la interconexión entre las compuertas de forma tal que estas sean mínimas y que el área de celdas y de conexión se minimicen, se propone el sumador

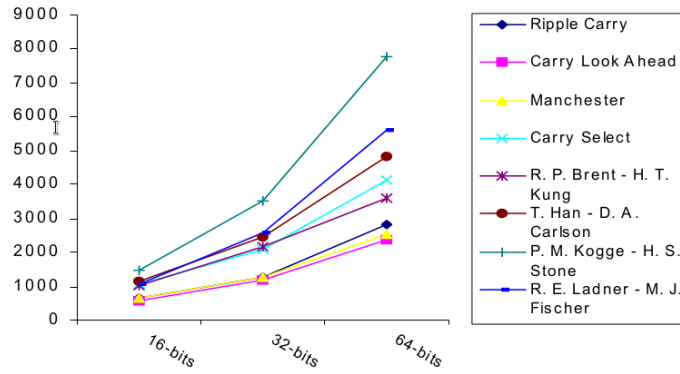


Figura 2.5: Área respecto al tamaño de los operandos  
Cuadro 2.1: Resumen Características de Sumadores

Arquitectura	Retardo Máx.	Área
Ripple Carry Adder (RCA)	$O(n)$	$O(n)$
Carry Save Adder (CSaA)	$O(\log(n))$	$O(n)$
Carry Look-Ahead Adder (CLA)	$O(\log(n))$	$O(n \log(n))$
Carry Skip Adder (CSA)	$O(n^{l+2/l+1})$	$O(n)$
Carry Increment Adder (CIA)	$O(n^{l+2/l+1})$	$O(n)$
Carry Select Adder (CselA)	$O(n^{l+2/l+1})$	$O(n)$
Ladner-Fisher	$O(\log_2(n))$	$O(n \log(n))$
Skalansky	$O(\log_2(n))$	$O(\log^2(n))$
Kogge-Stone	$O(\log_2(n))$	
Han-Carlson	Falta	Falta
Brent-Kung	$O(\log_2(n))$	$O(n \log_2(n))$

de Brent-Kung. Este sumador (3) es una versión que considera el problema de la interconexión entre las compuertas, de una forma que minimice el área, a costa de un aumento en el retardo. Esto se expresa en la función de retardo que es  $2 \log_2(n) - 2$ , a diferencia de los sumadores de Ladner-Fisher(7) y Kugge-Stone(6) que en  $\log_2(n)$  etapas calculan todos las señales de acarreo.

### Operador de Brent-Kung

El operador  $\circ$  se define<sup>1</sup> como:

$$(g, p) \circ (\hat{g}, \hat{p}) = (g \vee (p \wedge \hat{g}), p \wedge \hat{g}) \quad (2.8)$$

El operador Punto de Brent-Kung es asociativo, es decir:

$$((a, b) \circ (c, d)) \circ (e, f) = (a, b) \circ ((c, d) \circ (e, f))$$

Y por lo tanto podemos ahorrarnos los paréntesis y escribimos:

$$(a, b) \circ (c, d) \circ (e, f) \circ \dots$$

<sup>1</sup> Para respetar la notación de la bibliografía original comenzamos a utilizar la notación lógica con  $\vee$ ,  $\wedge$  y  $\oplus$  como los operadores booleanos AND, OR y XOR respectivamente

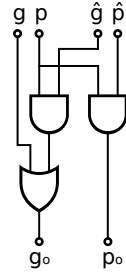


Figura 2.6: Operador Punto de Brent-Kung

### Circuito de Generación y Propagación de acarreo

Ahora necesitamos un circuito que con cada bit de entrada de los operandos  $a$  y  $b$  calcule la señal de acarreo y la de propagación:

$$g_i = a_i \wedge b_i, p_i = a_i \oplus b_i$$

Esas señales se generan en paralelo, dado dos números binarios  $a[n]$  and  $b[n]$  de longitud  $n$ .

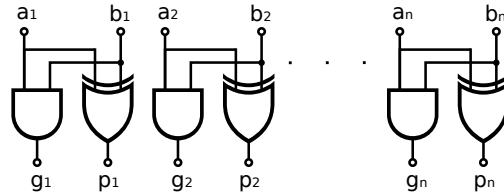


Figura 2.7: Generación y Propagación del Acarreo

### Circuito completo

Asumiendo que ya tenemos diseñado el bloque de cálculo de los acarreos en cadena, al cual le llamamos red de prefijos paralelos, el circuito propuesto por el paper de Brent-Kung(3) lo podemos ver como en la figura 2.8, que nos servirá a la hora de la implementación en HDL.

### Red de Prefijos Paralelos

Con la figura 2.9, detallamos ahora la red de prefijos paralelos con un fan-out máximo de dos, lo cuál diferencia a el sumador de Brent-Kung de los otros sumadores de prefijos paralelos. La red se realiza con 2 elementos: Los puntos negros son los operadores punto de Brent-Kung de la figura 2.6 y con buffers (los puntos blancos) que realizan una copia de la señal. Cada cable representa un par de bit  $g_i, p_i$  de la figura 2.8.

## 2.3. Implementación en Lenguaje de Descripción de Hardware

Ya hemos presentado una descripción esquemática del sumador binario de  $n$  bits. El objetivo es implementar el circuito en un lenguaje de HDL parametrizado por el tamaño  $n$  del los números

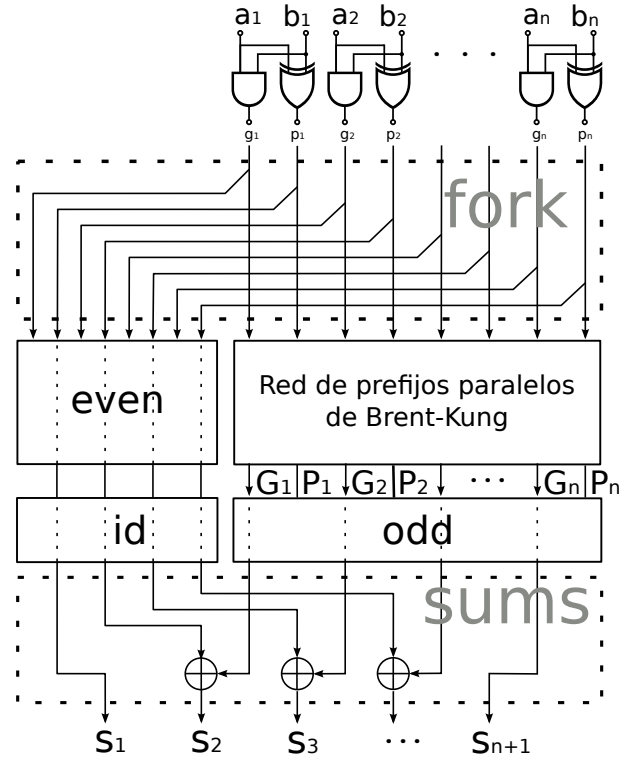


Figura 2.8: Sumador de Brent-Kung

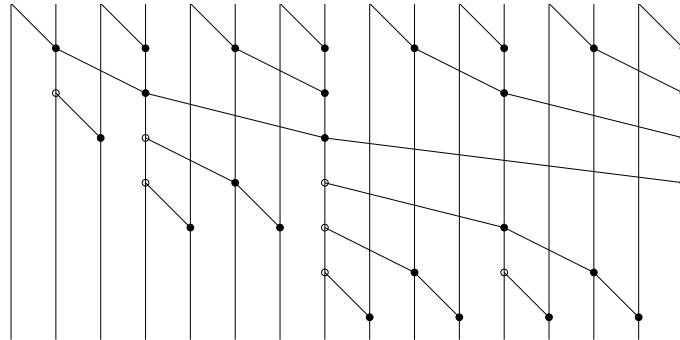


Figura 2.9: Red de prefijos paralelos (ejemplo de 16 bits)

binarios a ser sumados. Para describir el circuito, elegimos Lava, un sistema para diseñar, especificar, verificar e implementar hardware. Lava está embebido en el lenguaje de programación funcional Haskell. En lava los circuitos son descriptos como funciones que operan sobre listas, tuplas o sobre circuitos. Esto último se debe que el lenguaje Haskell permite la definición de funciones de alto orden, es decir podemos definir funciones que su dominio e imagen son funciones.

### 2.3.1. Implementación del RCA en lava

Siguiendo la figura 2.1a, definiremos el semisumador:

```
halfAdd (a, b) = (s, c)
  where
    s = xor2 (a, b)
    c = and2 (a, b)
```



Para escribir el circuito del sumador completo usamos la figura 2.1b, nombrando las señales internas y escribiendo los subcomponentes de la siguiente forma:

```
fullAdd (cin, (a, b)) = (s, cout)
  where
    (sum1, carry1) = halfAdd (a, b)
    (s, carry2) = halfAdd (cin, sum1)
    cout = xor2 (carry2, carry1)
```

Por último escribimos la descripción del sumador binario (RCA) de la figura 2.2 de la siguiente forma:

```
adder (carryIn, ([], [])) = ([], carryIn)
adder (carryIn, (a:as, b:bs)) = (sum:sums, carryOut)
  where
    (sum, carry) = fullAdd (carryIn, (a, b))
    (sums, carryOut) = adder (carry, (as, bs))
```

### 2.3.2. Patrones de conexión

**Patrones de conexión estandar.** Los patrones de conexión son funciones de alto orden<sup>1</sup> que pueden ser utilizadas para construir circuitos, les llamamos circuitos de alto orden o generadores de circuitos.

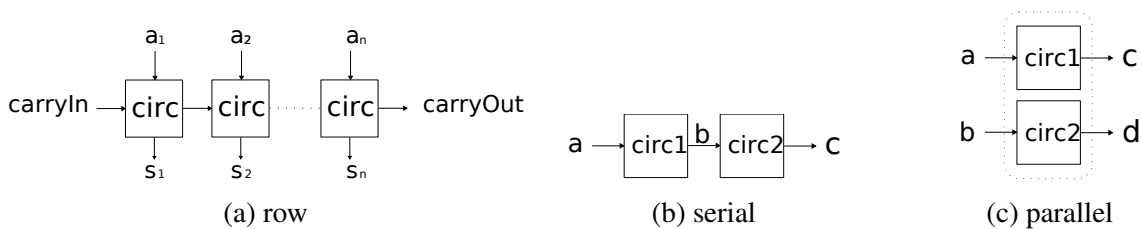


Figura 2.10: Diferentes Patrones de Conexión de Circuitos

Observando la definición de `adder` y su topología, podemos generalizar esa estructura de conexión reemplazando el circuito por un parámetro, que en la definición<sup>2</sup> del circuito será una entrada mas. A ese parámetro lo nombramos `circ`:

```
row circ (carryIn, ([])) = ([], carryIn)
row circ (carryIn, a:as) = (b:bs, carryOut)
  where
    (b, carry) = circ (carryIn, a)
    (bs, carryOut) = row circ (carry, as)
```

La función `row` toma un circuito `circ`, un conjunto de entradas, y las conecta como se muestra en la figura 2.10a. Ahora, usando el generador de circuito `row`, el sumador binario lo podemos describir mas simplemente así:

<sup>1</sup>Las funciones de alto orden (*high order functions*) son funciones que toman otras funciones como argumento y devuelven otra función como resultado.

<sup>2</sup>Esto es posible dado que Haskell implementa *pattern matching*.

---

```
adder' (carry, inps) = row fullAdd (carry, inps)
```

Inclusive para simplificar mas, podemos currificar<sup>1</sup> la definición:

```
adder'' = row fullAdd
```

Definir `adder'` y `adder''` de esa forma es bastante conveniente ya que podemos pensar en término de *generadores de circuitos* en vez de recursión sobre listas.

Ya que hemos visto la ventaja de definir los patrones de conexión, presentamos dos generadores de circuitos que vamos a usar mas tarde:

```
par cir1 cir2 (a, b) = (c, d)
  where
    c = cir1 a
    d = cir2 b
```

Es muy útil definir una versión mas gráfica de la función `par`, si definimos el operador infijo `-|-`:

```
cir1 -|- cir2 = par cir1 cir2
```

Y por último la conexión serie y su versión con el operador infijo:

```
serial cir1 cir2 a = c
  where
    b = cir1 a
    c = cir2 b

cir1 ->- cir2 = serial cir1 cir2
```

### 2.3.3. Sumador de Brent-Kung

#### Operador de Brent-Kung

Comencemos a describir el sumador de Brent-Kung. En Lava, podemos describir el circuito que implementa la función 2.8 siguiendo la figura 2.6:

```
dotOp ((g1, p1) , (g, p)) = (go, po)
  where
    go = or2 (g, and2 (p, g1))
    po = and2 (p, p1)
```

#### Generación y Propagación del Acarreo

En Lava escribimos asi lo que captamos de la figura 2.7:

```
gAndPs ([], []) = []
gAndPs (a:as, b:bs) = (g,p):gps
  where
    (g, p) = (and2 (a, b), xor2 (a, b))
    gps    = gAndPs (as, bs)
```

Para ver una explicación con mayor nivel de detalles de cómo construir el circuito, ver el manual de lava (4) en conjunto con el paper aqui citado (8)

---

<sup>1</sup>Curricular, es una referencia al lógico Haskell Curry, y hace referencia a la técnica que consiste en transformar una función que utiliza una n-tupla como argumento, en una función que utiliza un único argumento.

## Red de Prefijos Paralelos

Ahora para describir esta red que usamos en la figura 2.8 y mostramos un ejemplo de una red para 16 bits en la figura 2.9, nos basamos en un patrón recursivo que propone Sheeran (10) al que le llama *wrap*. En cada paso de la iteración tomamos el resultado anterior (el circuito *P*) y le aplicamos el operador punto antes y después de forma intercalada como se puede ver en la figura 2.11a. Esto nos lleva a construir redes como la de la figura 2.9.

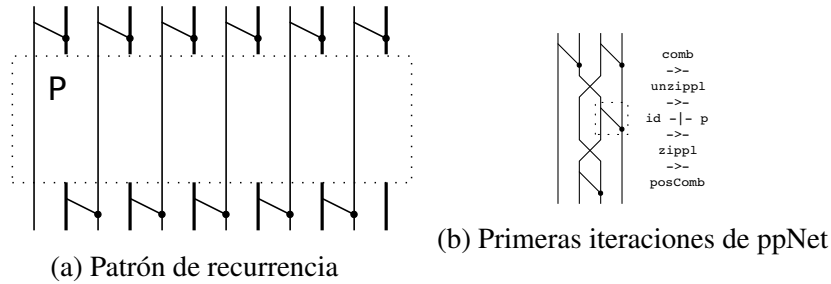


Figura 2.11: Construcción de la red de prefijos paralelos

La figura 2.11b representa las dos primeras iteraciones del circuito ppNet, en el cual la caja de líneas punteada es el caso base de la descripción, los puntos negros son la función dotOp. Lo que producimos con esta función recursiva son redes como la de la figura 2.9.

A continuación, describimos el circuito ppNet, pero antes escribimos las funciones auxiliares dop, unzipl, zipl, comb, posComb, miti y wrap, que nos servirán para escribir ppNet:

```
dop [a, b] = [a, dotOp(a, b)]
--
unzipl []      = ([], [])
unzipl [a]     = ([a], [])
unzipl (a:b:abss) = (a:as, b:bs)
  where
    (as, bs) = unzipl abss
--
zipl ([], [])    = []
zipl ([a], [])   = []
zipl (a:as, b:bs) = a:b:zipl(as, bs)
--
-- La forma en que hemos escrito las funciones zipl y unzipl
-- son la clave para lograr una descripción de un sumador
-- binario que acepte cualquier cantidad de entradas
--
comb []      = []
comb [a]     = []
comb (a:as) = dop [a, head as] ++ comb (tail as)
--
posComb (a:as) = a: (comb (init as)) ++ [last as]
--
miti p = unzipl ->- (id -|- p) ->- zipl
--
wrap p = comb ->- miti p ->- posComb
```

---

Luego finalmente, podemos describir ppNet:

```
ppNet [a]      = []
ppNet [a, b]   = dop [a, b]
ppNet as       = wrap ppNet as
```

### Circuito top level

Ahora que ya tenemos construidas todas las partes del sumador, sólo resta juntarlas siguiendo el esquemático de la figura 2.8. Prestar atención a que el circuito `fork` realiza una copia de las señales, el `even` deja pasar los bits pares, `odd` los impares, `id` es la función identidad y `sums` mapea los bits de entrada con la función booleana XOR, salvo el primer y último bit:

```
fork as = (as, as)
--
even as = cs
  where
    (bs,cs) = unzip as
--
odd as = bs
  where
    (bs,cs) = unzip as
-- Unas definiciones mas cortas:
dropP = id -|- odds
dropG = even -|- ppNet
--
sums (a:as,bs) = (a:lastXor (as,init bs),cOut)
  where
    cOut = last bs
--
lastXor (as, bs) = map xor2 cs
  where
    cs = zipp (as, bs)
--
zipp ([],[]) = []

zipp (a:as, b:bs) = c:cs -- da lo mismo que poner (c:cs)
  where
    c = (a, b)
    cs = zipp (as, bs)
```

Y el circuito completo es:

```
fastAdd = gAndPs ->- fork ->- dropG ->- dropP ->- sums
```

### 2.3.4. Simulación

En Lava podemos simular el circuito usando la operación `simulate`, el circuito y el estado de las entradas, por ejemplo:

```
simulate fastAdd ([high,low],[low,high])
```

---

devuelve: `([high,high],low)`. También podemos simular secuencia de entradas con la operación `simulateSeq`:

```
simulateSeq halfAdd [(low,low),(high,low),(low,high)]
```

que devuelve `[(low,low),(high,low),(high,low)]`

## Simulaciones con números decimales

Lava nos permite una interfase con números enteros, por si nos interesa simular usando como operandos números enteros. Esto lo logramos si definimos una función como la siguiente, que toma dos enteros y convierte el segundo en un número binario de la cantidad de bits que indica el primero:

```
int2bin 0 num = []

int2bin n num = (bit:bits)
  where
    (bit, num) = numBreak num
    bits      = int2bin (n-1) num
```

## Método de validación del hardware

Para este diseño en particular, no utilizaremos la simulación como una forma de validar el correcto funcionamiento del circuito, por eso no avanzaremos en las distintas alternativas de simulación que nos permite el sistema, como puede ser la creación de un archivo VCD<sup>1</sup> a partir de vectores de entrada<sup>2</sup>.

Justificamos descartar la simulación como método de validación por la simple razón de que sólo simulando todos los posibles estados de las entradas se garantiza el correcto diseño del circuito. Por ejemplo, para un sumador de 64 bits, es necesario simular  $2^{128}$  estados.

Para este tipo de sistemas es aplicable la verificación formal automática, que desarrollaremos en el capítulo 3.

### 2.3.5. Síntesis del Netlist VHDL

Para continuar en nuestro flujo de diseño, precisamos generar el circuito en un lenguaje que nuestra herramienta de *Place and Route* pueda manejar. Para eso lava nos permite crear un netlist VHDL siguiendo dos pasos, el primero definiendo los nombres de los puertos y el bloque a ser creado:

```
fastAdder n = writeVhdlInputOutputNoClk
  "BrentKungFastAdder" fastAdd
  (varList n "a", varList n "b")
  (varList n "sum", var "cout")
```

---

<sup>1</sup>VCD: Value Change Dump es un formato basado en ASCII para logear señales, que es utilizado por herramientas de simulación lógica. Para visualizarlo podemos utilizar el software GTKWave, de licencia libre.

<sup>2</sup>Podemos usar una librería de Haskell llamada *casualmente* vcd que nos permite escribir y leer archivos con este formato

---

Y el segundo paso para crear el netlist, debemos especificar el valor real de sumador, por lo tanto valuamos el circuito con el número de bits del sumador y conseguiremos el archivo BrentKungFastAdder.vhl que mostramos en el apéndice [A](#):

```
Main> fastAdder 16  
Writing to file "BrentKungFastAdder.vhd" ... Done..
```

Si por alguna razón este netlist lo utilizáramos con una otra herramienta de síntesis, deberemos especificar que no modifique los cables para preservar la estructura de esta red.

## Capítulo 3

# VERIFICACIÓN FORMAL

---

Como aclaramos en el capítulo 2, el correcto funcionamiento del circuito se garantiza por medio de la verificación formal de las propiedades de la suma.

Nuestro flujo para esta etapa tiene que ver con la verificación de propiedades que se denominan *safety properties*. Estas son propiedades que se mantienen como verdaderas siempre (o lo que es equivalente, nunca son falsas). En Lava escribimos estas propiedades de la misma forma en que escribimos los circuitos, inclusive utilizando otros circuitos que nos sirvan para expresar una condición. Esto se verá con mas claridad cuando avancemos con la verificación. Entonces, la pregunta que estamos haciendo para verificar cualquier propiedad descrita de esta forma es: ¿Este circuito de verificación siempre tiene como salida el estado `True` sin importar cuales son las entradas? Para responder esta pregunta, en Lava usamos la operación `verify`.

Este proceso funciona así: Tal como podemos generar un netlist VHDL (o la simulación) a partir de la descripción del circuito, también podemos generar una fórmula lógica que representa al circuito. Esta fórmula lógica se la damos a un probador de teorema externo que nos probará (o desaprobará) la validez de la fórmula. El probador externo que usaremos es `miniSAT`<sup>1</sup>.

### 3.1. Modelo de referencia

A los fines de la verificación, usaremos un sumador de referencia `adder` bien simple, en el cual podamos probar todas las propiedades de la suma, para luego hacer un chequeo de equivalencia lógica (LEC por sus siglas en inglés) entre el sumador de referencia y el sumador que queremos implementar. Esto es conveniente porque es una gran ventaja (desde el punto de vista de tiempo de cálculo) hacer todas las pruebas sobre circuitos mas simples (pequeños), para luego realizar una sola comprobación de equivalencia lógica entre este circuito simple y el circuito diseñado, garantizando así que si todas las propiedades se cumplen en uno, también se cumplen en el otro.

---

<sup>1</sup>Minisat es un programa que resuelve problemas conocidos como *Boolean satisfiability problem (SAT)*, o directamente *SAT solver*

---

## 3.2. Verificación de las Propiedades

### 3.2.1. Propiedades de la suma

La suma tiene las siguientes propiedades:

- Asociativa
- Conmutativa
- Existencia del elemento neutro cero.

### 3.2.2. Descripción de las propiedades en el RCA

Debido a que nuestro sumador de Brent-Kung asume que el acarreo de entrada es cero, debemos modificar nuestro sumador de referencia (un Ripple Carry Adder) para que desprecie el acarreo de entrada. Por lo tanto describimos nuevamente una versión del RCA de la siguiente forma:

```
adder2 ([], []) = []
adder2 (a:as, b:bs) = sum:sums
  where
    (sum, carry)      = halfAdd (a, b)
    (sums, carryOut) = adder (carry, (as, bs))
```

#### Propiedad Conmutativa

Ahora declaramos la propiedad conmutativa de la suma de la siguiente forma:

```
prop_AdderCommutative (as, bs) = ok
  where
    out1 = adder2 (as, bs)
    out2 = adder2 (bs, as)
    ok    = out1 <==> out2
```

Notar que el operador `<==>` es la versión infija de una función que mapea dos listas a la compuerta `xnor2`, la cual es la operación de equivalencia lógica. Como es muy difícil verificar automáticamente para cualquier tamaño, definimos una nueva propiedad que incluye el tamaño del circuito a ser verificado:

```
prop_AdderCommutative_ForSize n =
  forAll (list n) $ \as ->
    forAll (list n) $ \bs ->
      prop_AdderCommutative (as, bs)
```

Luego hacemos la verificación corriendo Minisat desde Lava, dando el tamaño del sumador:

```
minisat (prop_AdderCommutative_ForSize 32)
```

Si nuestro circuito está correctamente diseñado, tenemos:



---

```
Minisat: ... (t=0.00system) Valid.
```

De otro modo, podemos tener uno de estos resultados:

```
Minisat: ... (t=0.00system) Falsifiable.
Minisat: ... (t=0.00system) Inderterminate.
```

## Propiedad Asociativa

La propiedad Asociativa la declaramos como:

```
prop_AdderAssociative (as, bs, cs) = ok
  where
    out1 = adder2 (adder2 (as, bs), cs)
    out2 = adder2 (as, adder2 (bs, cs))
    ok    = out1 <==> out2
```

## Existencia del Elemento Neutro

Para verificar que el cero es el elemento neutro de la adición, necesitamos escribir un poco mas de lógica al circuito para transformar uno de los operandos a cero:

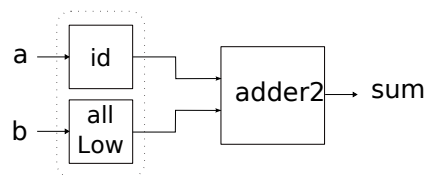


Figura 3.1: circuito addZero

```
alwaysLow :: [Signal Bool] -> [Signal Bool]
alwaysLow (as) = [low | n <- [1..n]]
  where
    n = length as
```

```
addZero = (id -|- alwaysLow) ->- adder2
-- id es la funcion identidad
```

Y la verificación de esta propiedad en el circuito:

```
prop_AdderZero (as,bs) = ok
  where
    out = addZero (as, bs)
    ok   = out <==> as
```

## Equivalencia lógica entre el RCA y el sumador de Brent-Kung

Finalmente, hacemos la equivalencia lógica entre los dos circuitos: `fastAdd` (el BKA) y `adder2` (el RCA). Eso se declara en Lava de la siguiente forma:

```
prop_Equivalent adder2 fastadd a = ok
  where
    out1 = adder2 a
    out2 = fastadd a
    ok    = out1 <==> out2
```

---

# **Parte III**

## **Diseño Físico**



## Capítulo 4

# Flujo de Diseño Físico

---

...

---

## Capítulo 5

# Sign Out y Tape Out

---

...

---



# **Parte IV**

## **Conclusiones**



## Capítulo 6

# Conclusiones

---

...

---

# Apéndice A

## NETLIST VHDL

---

```
library ieee;

use ieee.std_logic_1164.all;

entity
    BrentKungFastAdder
is
port
    (

        a_0 : in std_logic
    ; a_1 : in std_logic
    ; a_2 : in std_logic
    ; a_3 : in std_logic
    ; a_4 : in std_logic
    ; a_5 : in std_logic
    ; a_6 : in std_logic
    ; a_7 : in std_logic
    ; b_0 : in std_logic
    ; b_1 : in std_logic
    ; b_2 : in std_logic
    ; b_3 : in std_logic
    ; b_4 : in std_logic
    ; b_5 : in std_logic
    ; b_6 : in std_logic
    ; b_7 : in std_logic

    ; sum_0 : out std_logic
    ; sum_1 : out std_logic
    ; sum_2 : out std_logic
    ; sum_3 : out std_logic
    ; sum_4 : out std_logic
    ; sum_5 : out std_logic
    ; sum_6 : out std_logic
    ; sum_7 : out std_logic
    ; cout : out std_logic
    );
```

---

```

end BrentKungFastAdder;

architecture
  structural
of
  BrentKungFastAdder
is
  signal w1 : std_logic;
  signal w2 : std_logic;
  signal w3 : std_logic;
  signal w4 : std_logic;
  signal w5 : std_logic;
  signal w6 : std_logic;
  signal w7 : std_logic;
  signal w8 : std_logic;
  signal w9 : std_logic;
  signal w10 : std_logic;
  signal w11 : std_logic;
  signal w12 : std_logic;
  signal w13 : std_logic;
  signal w14 : std_logic;
  signal w15 : std_logic;
  signal w16 : std_logic;
  signal w17 : std_logic;
  signal w18 : std_logic;
  signal w19 : std_logic;
  signal w20 : std_logic;
  signal w21 : std_logic;
  signal w22 : std_logic;
  signal w23 : std_logic;
  signal w24 : std_logic;
  signal w25 : std_logic;
  signal w26 : std_logic;
  signal w27 : std_logic;
  signal w28 : std_logic;
  signal w29 : std_logic;
  signal w30 : std_logic;
  signal w31 : std_logic;
  signal w32 : std_logic;
  signal w33 : std_logic;
  signal w34 : std_logic;
  signal w35 : std_logic;
  signal w36 : std_logic;
  signal w37 : std_logic;
  signal w38 : std_logic;
  signal w39 : std_logic;
  signal w40 : std_logic;
  signal w41 : std_logic;
  signal w42 : std_logic;
  signal w43 : std_logic;
  signal w44 : std_logic;
  signal w45 : std_logic;
  signal w46 : std_logic;
  signal w47 : std_logic;
  signal w48 : std_logic;
  signal w49 : std_logic;

```

---

```

signal w50 : std_logic;
signal w51 : std_logic;
signal w52 : std_logic;
signal w53 : std_logic;
signal w54 : std_logic;
signal w55 : std_logic;
signal w56 : std_logic;
signal w57 : std_logic;
signal w58 : std_logic;
signal w59 : std_logic;
signal w60 : std_logic;
signal w61 : std_logic;
signal w62 : std_logic;
signal w63 : std_logic;
signal w64 : std_logic;
signal w65 : std_logic;
begin
  c_w2      : wire port map (a_0, w2);
  c_w3      : wire port map (b_0, w3);
  c_w1      : xor2 port map (w2, w3, w1);
  c_w6      : wire port map (a_1, w6);
  c_w7      : wire port map (b_1, w7);
  c_w5      : xor2 port map (w6, w7, w5);
  c_w8      : and2 port map (w2, w3, w8);
  c_w4      : xor2 port map (w5, w8, w4);
  c_w11     : wire port map (a_2, w11);
  c_w12     : wire port map (b_2, w12);
  c_w10     : xor2 port map (w11, w12, w10);
  c_w14     : and2 port map (w6, w7, w14);
  c_w15     : and2 port map (w5, w8, w15);
  c_w13     : or2  port map (w14, w15, w13);
  c_w9      : xor2 port map (w10, w13, w9);
  c_w18     : wire port map (a_3, w18);
  c_w19     : wire port map (b_3, w19);
  c_w17     : xor2 port map (w18, w19, w17);
  c_w21     : and2 port map (w11, w12, w21);
  c_w22     : and2 port map (w10, w13, w22);
  c_w20     : or2  port map (w21, w22, w20);
  c_w16     : xor2 port map (w17, w20, w16);
  c_w25     : wire port map (a_4, w25);
  c_w26     : wire port map (b_4, w26);
  c_w24     : xor2 port map (w25, w26, w24);
  c_w29     : and2 port map (w18, w19, w29);
  c_w30     : and2 port map (w17, w21, w30);
  c_w28     : or2  port map (w29, w30, w28);
  c_w32     : and2 port map (w17, w10, w32);
  c_w31     : and2 port map (w32, w13, w31);
  c_w27     : or2  port map (w28, w31, w27);
  c_w23     : xor2 port map (w24, w27, w23);
  c_w35     : wire port map (a_5, w35);
  c_w36     : wire port map (b_5, w36);
  c_w34     : xor2 port map (w35, w36, w34);
  c_w38     : and2 port map (w25, w26, w38);
  c_w39     : and2 port map (w24, w27, w39);
  c_w37     : or2  port map (w38, w39, w37);
  c_w33     : xor2 port map (w34, w37, w33);

```

---

```

c_w42      : wire port map (a_6, w42);
c_w43      : wire port map (b_6, w43);
c_w41      : xor2 port map (w42, w43, w41);
c_w46      : and2 port map (w35, w36, w46);
c_w47      : and2 port map (w34, w38, w47);
c_w45      : or2 port map (w46, w47, w45);
c_w49      : and2 port map (w34, w24, w49);
c_w48      : and2 port map (w49, w27, w48);
c_w44      : or2 port map (w45, w48, w44);
c_w40      : xor2 port map (w41, w44, w40);
c_w52      : wire port map (a_7, w52);
c_w53      : wire port map (b_7, w53);
c_w51      : xor2 port map (w52, w53, w51);
c_w55      : and2 port map (w42, w43, w55);
c_w56      : and2 port map (w41, w44, w56);
c_w54      : or2 port map (w55, w56, w54);
c_w50      : xor2 port map (w51, w54, w50);
c_w60      : and2 port map (w52, w53, w60);
c_w61      : and2 port map (w51, w55, w61);
c_w59      : or2 port map (w60, w61, w59);
c_w63      : and2 port map (w51, w41, w63);
c_w62      : and2 port map (w63, w45, w62);
c_w58      : or2 port map (w59, w62, w58);
c_w65      : and2 port map (w63, w49, w65);
c_w64      : and2 port map (w65, w27, w64);
c_w57      : or2 port map (w58, w64, w57);

c_sum_0    : wire port map (w1, sum_0);
c_sum_1    : wire port map (w4, sum_1);
c_sum_2    : wire port map (w9, sum_2);
c_sum_3    : wire port map (w16, sum_3);
c_sum_4    : wire port map (w23, sum_4);
c_sum_5    : wire port map (w33, sum_5);
c_sum_6    : wire port map (w40, sum_6);
c_sum_7    : wire port map (w50, sum_7);
c_cout     : wire port map (w57, cout);
end structural;

```



# Bibliografía

---

- [1] MANUEL VALENCIA ADRIÁN ESTRADA, CARLOS J. JIMÉNEZ. Características de Sumadores en Tecnologías Fuertemente Submicrónicas. *IBERCHIP, DOC (TEC 2004-01509/MIC)*, 1982. [11](#)
- [2] A. BALIGA AND D. YAGAIN. Design of high speed adders using cmos and transmission gates in submicron technology: A comparative study. In *Emerging Trends in Engineering and Technology (ICETET), 2011 4th International Conference on*, pages 284–289, 2011. [11](#)
- [3] R. P. BRENT AND H. T. KUNG. . *IEEE Transaction on Computers*, **C-31**, Issue: 3:260–264, 2006. [11](#), [12](#), [13](#)
- [4] K. CLAESSEN AND M. SHEERAN. A tutorial on Lava: A hardware description and verification system. Website, 2014. <http://projects.haskell.org/chalmers-lava2000/Doc/>. [16](#)
- [5] S. KNOWLES. A family of adders. In *Computer Arithmetic, 2001. Proceedings. 15th IEEE Symposium on*, pages 277–281, 2001. [11](#)
- [6] PETER M. KOGGE AND HAROLD S. STONE. A parallel algorithm for the efficient solution of a general class of recurrence equations. *Computers, IEEE Transactions on*, **C-22**(8):786–793, Aug 1973. [11](#), [12](#)
- [7] RICHARD E. LADNER AND MICHAEL J. FISCHER. Parallel prefix computation. *JACM, Journal of the ACM*, **C-27**(4):831,838, Oct 1980. [12](#)
- [8] L. MARSO. Brent-kung fast adder description, simulation and formal verification using lava. In *Micro-Nanoelectronics, Technology and Applications, 2008. EAMTA 2008. Argentine School of*, pages 111–114, Sept 2008. [16](#)
- [9] B. PARHAMI. *Computer Arithmetic: Algorithms and Hardware Designs*. Computer Arithmetic: Algorithms and Hardware Designs. Oxford University Press, 2000. [8](#)
- [10] M. SHEERAN. Parallel prefix network generation: an application of functional programming In Hardware Design and Functional Languages. In *Hardware design and Functional Languages (HFL07), Braga, Portugal*, March 2007. [17](#)